

京都大学大学院 学生員 伊藤 邦展
 京都大学工学部 正員 岩佐 義朗
 広島大学工学部 正員 細田 尚

1. 序論； 本研究は、濃度変動場の解析を $\bar{C}^2 - E_C$ 方程式を用いて行い、開水路流れの乱流拡散実験よりその妥当性を検討したものである。
2. 一様乱流場での $\bar{C}^2 - E_C$ 方程式の特性； 一様等方性乱流場では、Kármán-Hougaard 方程式と同様に濃度の空間相關が次式によつて規定される。

$$\frac{\partial}{\partial t} \bar{C}^2 R_{cc}(r, t) - 2 \bar{C}^2 \sqrt{u^3} \frac{1}{r^2} \frac{\partial}{\partial r} [r^2 k_c(r, t)] = 2 K \bar{C}^2 \frac{1}{r^2} \frac{\partial}{\partial r} r^2 \left[\frac{\partial R_{cc}(r, t)}{\partial r} \right] \quad (1)$$

ここで、 $R_{cc}(r, t)$ ；濃度の空間相關係数、 k_c ；濃度と流速の三重相關係数、 \bar{C}^2 ；濃度の変動強さ、 $\sqrt{u^3}$ ；乱れ強さ K ；分子拡散係数、 ϵ ；時間、 r ；相間ととる 2 点間の距離

いま、 r として空間座標 (x_1, x_2, x_3) のうち 1 をとると、濃度変動の一次元波数スペクトル $E_C(k, t)$ は、乱れ速度と同様に次式で表わされる慣性領域が存在する。⁽¹⁾

$$E_C(k, t) = \frac{3}{5} A_C E_C(t) E(t)^{-1/2} k^{-5/2} \quad (A_C \text{は定数}) \quad (2)$$

これは長さのスケールを $L = \sqrt{\frac{\bar{C}^2}{E_C}} t^{1/2}$ としたとき、 $R_{cc}(r, t)$ が $\sqrt{L} t^{1/2}$ 普遍関数表示されることを示してい。 (1) 式を r に関する 0 から ∞ まで積分する。このとき、Kármán-Hougaard 方程式の場合と同様に右辺は無視される。無次元変数 $r' = r/L$ を用いると、 r' に関する積分は定数と考えられるから、一つにまとめ？

表-1 E_C -方程式の散逸項の表示

$$\frac{d}{dt} (\bar{C}^2 L) = C_C \bar{C}^2 \sqrt{L} \quad (3)$$

となる。 $L = \sqrt{\frac{\bar{C}^2}{E_C}} t^{1/2}$ を代入し、次式を得る。

$$\frac{dE_C}{dt} = -\frac{5}{3} \frac{E_C^2}{\bar{C}^2} - \frac{1}{3} C_{C2} \frac{E_C \epsilon}{k} - \frac{2}{3} C_C \frac{E_C^{5/2} k^2}{\bar{C}^2 \epsilon^{1/2}} \quad (4)$$

ここで、定義式(5)式と一様乱流場での $k - \epsilon$ モデル(6)(7)式を用いてい。 (5)

$$\frac{d\bar{C}^2}{dt} = -E_C \quad (5) \quad \frac{dk}{dt} = -\epsilon \quad (6) \quad \frac{d\epsilon}{dt} = -C_{C2} \frac{\epsilon^2}{k} \quad (7)$$

上記 4 式が一様乱流場での基礎式である。(6)(7)式はある程度以上時間が経過すると、べき乗解に従う。不变量 $\Lambda = k \int_0^\infty r^3 f(r) dr$ (f : 二重速度級相関) を用いると、べき乗解の領域では、 $C_{C2} = (3\sigma+5)/(2\sigma+2)$ 、
 $\epsilon/k = (2\sigma+2)/\{(2\sigma+3)t\}$ となり。⁽²⁾ (5)式は

$$\frac{d^2 \bar{C}^2}{dt^2} = -\frac{5}{3} \frac{1}{\bar{C}^2} \left(\frac{d\bar{C}^2}{dt} \right)^2 + \frac{C_{C2}}{3} \frac{2\sigma+2}{\sigma+3} \frac{1}{t} \frac{d\bar{C}^2}{dt} - \frac{2}{3} C_C \frac{1}{\bar{C}^2} \left(-\frac{d\bar{C}^2}{dt} \right)_\infty \frac{\sigma+3}{2\sigma+2} \sqrt{t} = 0 \quad (8)$$

となる。上式は、濃度の空間相關係数 $\bar{C}^2 R_{cc}(r, t)$ の積分量が不变の仮定

$$\int_0^\infty \bar{C}^2 R_{cc}(r, t) r^3 dr = \bar{C}^2 L^{11/2} \int_0^\infty R_{cc}(r) r^3 dr = \text{const} \quad (9)$$

と連立することにより、 $\bar{C}^2 - E_C$ 方程式の定数 C_C が表-1 に示したように表わせる。 $\sigma = 0$ とすれば $C_C = -\sqrt{r^2/(5+1)}$ となり C_C は -1 と 0 の間にある。表-1 には参考のために $L = \sqrt{k} \frac{\bar{C}^2}{E_C}$ としたときの結果も示した。 $L = \sqrt{k} \frac{\bar{C}^2}{E_C}$ の結果は Newman, Launder, Lumley⁽³⁾ の結果と一致している。

3. 実験の概要：一様長方形断面水路において、水路上流部の1/2水深の位置に連続点源を設け、比重を1.0に調整した食塩水を投入し、下流域の濃度分布を導電率計により測定した。記録はデータレコーダーを用い、後にA-D変換により変動強さ、スペクトルを求めた。スペクトルはFFT法により求めた。実験の水理諸量を表-2に示す。水路の座標系は、流下方向にz、水路幅方向にyとした。

4. 実験結果と解析結果の比較：水深方向に濃度分布が一様となる領域を平面流れとみなし、濃度の総量から連続源の放出量を逆算して与えることにより、平面流れの解析結果と実験結果を比較した。なお E_c -方程式の散逸項は前述の結果を用いた。生成項の表示としては $C_{ec} \frac{E_c}{C^2} D_z (\frac{\partial C}{\partial z})^2$, $C_{ec} \frac{E_c}{C^2} D_z (\frac{\partial C}{\partial z})^2$ の二通りを考えた。解析にあたり、次の無次元量を導入した。

$$X' = \frac{ZU}{D_z}, Z' = \frac{ZU}{D_z}, C' = \frac{C}{C_0}, \bar{C}^2 = \frac{C^2}{C_0^2}, E'_c = \frac{E_c}{E_{co}}$$

上記無次元量を用い基礎式を無次元化した。

$$\frac{\partial C}{\partial X} = \frac{\partial C}{\partial Z'} \quad (10) \quad [\text{以後、無次元量の'を除く}]$$

$$\frac{\partial \bar{C}^2}{\partial X} = \frac{2}{\alpha} \left(\frac{\partial C}{\partial Z} \right)^2 + \frac{\partial}{\partial Z} \left(\frac{1}{\alpha} \frac{\partial \bar{C}^2}{\partial Z} \right) - \beta E'_c \quad (11)$$

$$\frac{\partial E'_c}{\partial X} = \left[\frac{C_{ec}}{\alpha} \frac{E_c}{C^2} \left(\frac{\partial C}{\partial Z} \right)^2 + C_{ec} \gamma \left(\frac{\partial C}{\partial Z} \right)^2 \right] + \frac{\partial}{\partial Z} \left(\frac{1}{\alpha} \frac{\partial E'_c}{\partial Z} \right)$$

$$-\frac{5}{3} \beta \frac{E'_c}{C^2} - \frac{C_{ec}}{3} \gamma E'_c - \frac{2}{3} C_{ec} \frac{B_z^2}{C^2} \bar{C}^2 E'_c \quad (12)$$

ここに、 α 、 β 、 γ は次のようく定義される無次元パラメータである。

$$\alpha = \bar{C}^2 C_0^2, \beta = D_z E_{co} / U^2 \bar{C}^2, \gamma = D_z E / U^2 k$$

定数 C_{ec} は1.92, C_0 は-0.5とし、 α 、 β 、 γ はそれぞれ 10^{-1} , 10^{-3} , 10^{-3} とした。 E'_c は

未知なので変化させた。得られた濃度分布図を図-1に示す。連続源

図-1 濃度分布

の放出量の考え方が妥当であったことが確認される。濃度変動分布図を図-2に示す。実験結果より、濃度変動はz方向に一度極大値をとつて、のち減衰するが、 E_c -方程式の生成項を $C_{ec} \frac{E_c}{C^2} D_z (\frac{\partial C}{\partial z})^2$ とした(a)は、そのような分布形を示す。また定量的にも一致しない。生成項を $C_{ec} \frac{E_c}{C^2} D_z (\frac{\partial C}{\partial z})^2$ とした(b)は定性的にも定量的にもより一致している。従つて生成項の表示としては、後者の方が妥当であるといえよう。後者の場合の濃度変動のz方向の減衰を図-3に示す。実験結果はほぼ-2乗のべきで減衰するのに対し、解析結果はもう少し大きいべきで減衰している。ただし、 \bar{C}^2 の値を求める際に濃度分布の実験結果から $C_0 = 0.2$ とした。断面中央の奥の流下に伴うスペクトルの変化を図-4に示した。スペクトルの大きさは、流下に伴つて減少し、いずれのスペクトルも-5/3乗則に従っている。

参考文献 1) Hinze, J.O.; Turblence, McGraw-Hill 1959

2) 岩佐・余越・細田; 京大防災年報 27 B-2 3) Newman, Launder, Lumley; J.F.M. Vol. 111

表-2 実験の水理諸量

	Width [m]	Depth [m]	Mean Velocity U_m [cm/s]	Shear Velocity u_s [cm/s]	Aspect Ratio H/W	Slope	Froude Number	Reynolds Number
Exp. 1	25.0	2.09	21.06	1.07	11.95	1/500	0.69	6130

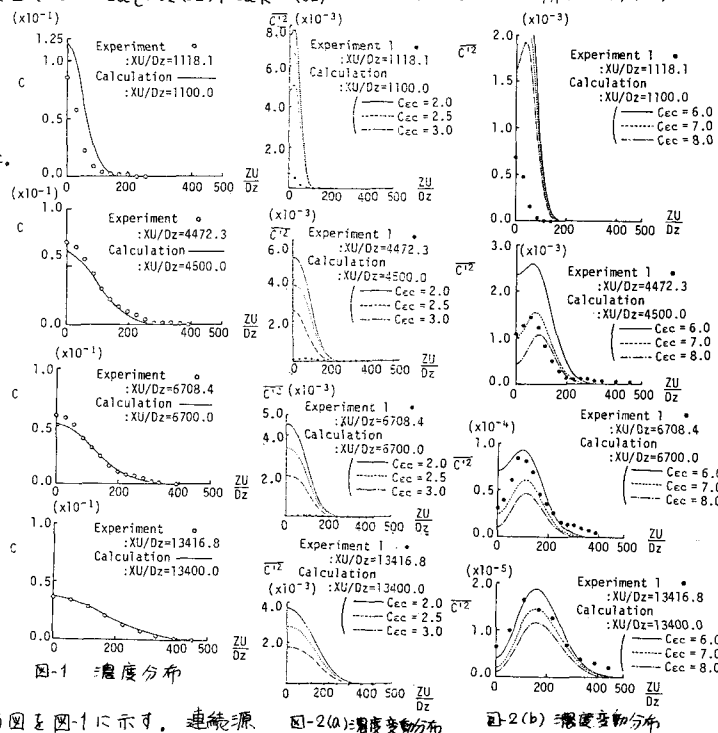


図-2(a) 濃度変動分布

図-2(b) 濃度変動分布

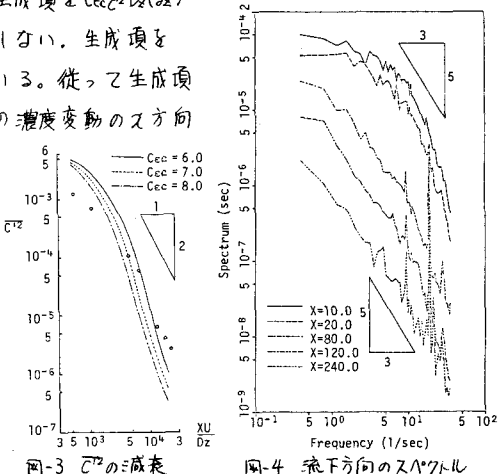


図-3 \bar{C}^2 の減衰

図-4 流下方向のスペクトル